



مقایسه مدل‌های واماندگی دینامیکی با استفاده از رویکرد عددی و نیمه تحلیلی در ایرفویل توربین بادی

سپهر راسخ^۱، سعید کریمیان علی‌ابادی^{۲*}، محمد حسینی دوست^۱

۱- کارشناسی ارشد، مهندسی هوافضا، دانشگاه تربیت مدرس، تهران

۲- استادیار، مهندسی هوافضا، دانشگاه تربیت مدرس، تهران

* تهران، صندوق پستی 141151111

چکیده

در این پژوهش، مدل‌های نیمه تحلیلی و عددی موجود که به منظور بررسی اثرات واماندگی دینامیکی در پره‌های توربین بادی استفاده می‌شوند با هم مقایسه شده‌اند، و نقاط قوت و ضعف هر کدام بیان می‌شود. از اثرات واماندگی دینامیکی می‌توان به افزایش ضربی نیروی برای بیشینه نسبت به حالت پایا و افزایش احتمال وقوع پدیده فلاتر اشاره نمود. روش‌های نیمه تحلیلی مورد بررسی، روش لیشمین-بدووس، روش اسلن و روش اونرا می‌باشند و برای شبیه‌سازی عددی از روش حجم محدود در محیط نرم‌افزار فلولنت استفاده شده است. مقایسه نتایج شبیه‌سازی، با استفاده از داده‌های ازمایشگاهی انجام می‌شود. ضربی برای با استفاده از همه روش‌های یاد شده به دست آورده شده است و برای به دست آوردن ضربی پسا در حالت دینامیکی از روش‌های عددی و لیشمین-بدووس استفاده می‌شود. پارامترهایی که برای مقایسه مدل‌های مختلف مورد استفاده قرار گرفته‌اند، میزان بیشینه ضربی نیروی برای زاویه حمله و میزان خطأ در فاز افزایش زاویه حمله و زاویه حمله می‌باشند. نتایج نشان می‌دهند که از بین روش‌های نیمه تحلیلی، روش لیشمین-بدووس دقت بیشتری در پیش‌بینی ضربی برای دارد، و روش عددی اگرچه می‌تواند جزئیات بیشتری از جریان را نسبت به روش‌های نیمه تحلیلی مورد بررسی قرار دهد، اما این روش به خصوص در فاز کاهش زاویه حمله خطأ دارد. نتایج شبیه‌سازی ضربی پسا نشان می‌دهد که روش عددی دقت بیشتری در پیش‌بینی ضربی نسبت به روش لیشمین-بدووس دارد. نتایج به دست آمده می‌تواند محققان را در انتخاب مدل مناسب واماندگی دینامیکی برای بررسی آبرو دینامیکی توربین‌های بادی باری کنند.

اطلاعات مقاله

مقاله پژوهشی کامل

دریافت: 27 آبان 1396

پذیرش: 18 بهمن 1396

ارائه در سایت: 10 اسفند 1396

کلید واژگان:

واماندگی دینامیکی

ایرفویل توربین بادی

مدل‌های نیمه تحلیلی

روش عددی

Comparison of dynamic stall models using numerical and semi-empirical approaches for a wind-turbine airfoil

Sepehr Rasekh, Saeed Karimian Aliabadi*, Mohammad Hosseini Doust

Department of Mechanical Engineering, Tarbiat Modares University, Tehran, Iran

* P.O.B. 141151111 Tehran, Iran, karimian@modares.ac.ir

ARTICLE INFORMATION

Original Research Paper

Received 18 November 2017

Accepted 07 February 2018

Available Online 01 March 2018

Keywords:

Dynamic stall

Wind turbine airfoil

Semi-Empirical models

CFD

ABSTRACT

In this paper, the Semi-Empirical and numerical methods that can be used to investigate the effects of dynamic stall in wind turbine blades are compared with each other, and the capabilities of the methods are studied. The Semi-Empirical Leishman-Beddoes (L-B), Snel and ONERA methods have been used, and the finite volume method was being used for numerical simulations. The experimental measurements have been used in order to compare the methods. The lift coefficient is calculated by all the methods, and the drag coefficient has been computed by the numerical and Leishman-Beddoes methods. The parameters have been used in order to compare the methods, are the maximum lift coefficient value, the angle of attack of the largest lift coefficient, the error at upstroke phase and the error at down stroke phase. The results show among the semi-empirical models; the L-B method has the highest precision to predict the lift coefficient, and although the numerical method can investigate the flow with more details, but the error percentage at the down stroke phase is higher than expectations. The results from the drag coefficient modeling show that the numerical method can predict this coefficient better than the L-B method. The results also can help researchers to select the best dynamic stall model in order to investigate the wind-turbine aerodynamics.

روتور توربین دارد [1]. از علل اصلی رخداد واماندگی دینامیکی می‌توان به

اثرات لایه از میان، زاویه انحراف جریان از صفحه روتور، حضور سیستم

کنترل زاویه گام و حرکت سکوی توربین‌های بادی شناور یاد نمود [2]. برای

۱- مقدمه واماندگی دینامیکی از شایع‌ترین پدیده‌هایی می‌باشد که پره‌های توربین‌های

بادی آن را تجربه می‌کنند و ثابت شده است که این پدیده اثر زیادی بر روی

برای ارجاع به این مقاله از عبارت ذیل استفاده نمایید:

S. Rasekh, S. Karimian Aliabadi, M. Hosseini Doust, Comparison of dynamic stall models using numerical and semi-empirical approaches for a wind-turbine airfoil, *Modares Mechanical Engineering*, Vol. 18, No. 03, pp. 282-290, 2018 (in Persian)

محدود در محیط نرم‌افزار حل عددی استفاده شده است و کد روش‌های نیمه تحلیلی در نرم‌افزار متلب^۴ توسط نویسنده‌گان تدوین شده است.

۲- واماندگی دینامیکی

زمانی که یک ایرفویل تحت تغییرات زاویه حمله متغیر با زمان قرار می‌گیرد به شرطی که زاویه حمله از زاویه حمله واماندگی بیشتر باشد، جدایی جریان خود را به صورت واماندگی دینامیکی نشان می‌دهد^[12]. این پدیده بعد از بی رمق شدن جریان با تشکیل گردابه در لبه حمله ایرفویل (LEV) شروع شده که با گذشت زمان این ساختار گردابه ای از سمت لبه حمله به سمت لبه فرار می‌رود. در این حالت نیروی برا بیشینه از حالت استاتیکی بیشتر می‌باشد. علت این افزایش بیشینه نیروی برا این می‌باشد که اولاً جدایش کامل به تعویق افتاده و ثانیاً وجود گردابه یاد شده باعث افزایش گردش^۵ بر روی ایرفویل می‌شود. همچنین چسبیدن دواره جریان به سطح ایرفویل نیز به تعویق می‌افتد. زمانی که گردابه به سمت لبه فرار می‌رود، مرکز فشار ایرفویل نیز به سمت لبه فرار متمایل می‌شود که این باعث می‌شود تا گشتاوری به ایرفویل وارد شود که لبه حمله ایرفویل به سمت پایین متمایل شود. این گشتاور اثر مخربی بر روی پره توربین دارد زیرا توزیع جدایش جریان بر روی پره توربین یکنواخت نمی‌باشد. همچنین دمینینگ^۶ آبیودینامیکی نیز در اثر وقوع این پدیده کاهش یافته و باعث می‌شود تا احتمال وقوع فلاتر^۷ افزایش یابد. دیگر جنبه منفی واماندگی دینامیکی این می‌باشد که به علت افزایش بیشینه نیروی برا، نیروی های وارد بر پره توربین بیشتر شده و باعث می‌شود تا پره از نظر سازه‌ای آسیب ببیند.

۳- روش لیشممن-بدووس

این روش مدل سازی واماندگی دینامیکی را بر اساس تقسیم مدل به سه قسمت مرتبط به هم انجام می‌دهد. در ابتدا جریان به صورت چسبیده فرض شده و سپس با استفاده از داده‌های قسمت قبل نیروهای آبیودینامیکی با اضافه شدن اثرات ناپایای جدایش جریان به دست می‌ایند و بعد از آن اثر گردابه به وجود آمده و اثرات تاخیری آن بررسی می‌شود.

۳-۱- جریان ناپایای چسبیده به سطح

در این قسمت با استفاده از روش پاسخ واحد نیروهای آبیودینامیکی در حالت جریان چسبیده، به دست می‌آیند. فرض بر آن است که جریان پتانسیل می-باشد و البته این فرض به علت لحاظ نکردن جدایش لطمه‌ای به محاسبات وارد نمی‌کند. دیگر فرض این روش این می‌باشد که به جای ایرفویل، صفحه تخت را مبنای محاسبات قرار داده است. اثرات جریان با ماخ بیشتر از ۰.۳ تا قبل از جریان صوتی نیز در این روش به صورت روابط تحلیلی منظور شده است. در روش پاسخ واحد^۸، حل به دو قسمت تقسیم می‌شود. قسمت اول نیروهای ناشی از اثرات چرخشی و قسمت دوم ناشی از نیروهای غیر چرخشی

جدول ۱ مشخصات ایرفویل S825 (حالت پایا) [13].

Table 1 Characteristics of S825 airfoil (steady) [13].

ضخامت	زاویه حمله	شیب نمودار	ضریب برا	زاویه واماندگی
ضریب برا صفر	ضریب برا	ضریب برا	بیشینه	(درجه)
11.2	1.43	0.108	-5.63	0.17 C

⁴ MATLAB

⁵ Circulation

⁶ Damping

⁷ Flutter

⁸ Indicial response method

بررسی واماندگی دینامیکی، سه روش پیشنهاد می‌شود. روش اول استفاده از تجهیزات آزمایشگاهی می‌باشد. روش دوم استفاده از مدل‌های نیمه تحلیلی و روش سوم استفاده از روش‌های عددی می‌باشد. از مدل‌های نیمه تحلیلی موجود می‌توان به مدل لیشممن-بدووس^۹ [3]^۱، مدل اونر^{۱۰} [4] و مدل استنل^{۱۱} [5] اشاره نمود. این مدل‌ها، از داده‌های حالت پایا برای به دست آوردن ضرایب آبیودینامیکی در حالت ناپایا یا دینامیکی استفاده می‌کنند. مدل لیشممن-بدووس توسط مراجع مختلفی مورد استفاده قرار گرفته است، به یکی از آنها می‌توان به تحقیق گوپتا و لیشممن^[6] اشاره نمود که با استفاده از این روش، ضرایب آبیودینامیکی را برای ایرفویل S809 که در توربین‌های بادی مورد استفاده قرار می‌گیرد، در حالت واماندگی دینامیکی مورد بررسی قرار داده‌اند. نتایج حاکی از دقت مناسب این روش می‌باشد. پریرا و همکارانش^[7] نیز با استفاده از روش لیشممن-بدووس تحلیل آبیودینامیکی را برای توربین مکزیکو انجام داده‌اند که از مقایسه نتایج شبیه‌سازی و نتایج آزمایشگاهی می‌توان به این نتیجه رسید که این روش از دقت خوبی برخوردار می‌باشد. گارتner و لکتر^[8] نیز روش لیشممن-بدووس را با روش گردابه ای VLM ترکیب کرده‌اند و نتایج قبلی را به دست آورده‌اند. از دیگر کارهای می‌توان به تحقیق ابراهیمی و سکندری^[9] اشاره نمود که از روش اونرا برای مدل سازی آبیوداستیک توربین باد محور افقی مگاواتی استفاده کرده‌اند.

در زمینه روش‌های عددی برای تحلیل واماندگی دینامیکی می‌توان به پژوهش قرعالی و جانسون^[10] اشاره نمود که اثرات واماندگی دینامیکی را برای ایرفویل ناکا ۰۰۱۲ مورد بررسی قرار داده‌اند. نتایج این تحقیق برای این ایرفویل نشان دهنده نوسانات زیاد در زمان رخداد واماندگی دینامیکی می‌باشد. حفیظی راد و همکاران^[11] با استفاده از روش لایه مرزی، نحوه رخداد جدایش را در پره توربین باد نشان داده‌اند. قرعالی و جانسون^[12] با استفاده از روش عددی رفتار آبیودینامیکی ایرفویل S809 را در حالتی که پره دارای خوردگی می‌باشد، بررسی کرده‌اند و به این نتیجه رسیده‌اند که خوردگی باعث کاهش ضریب نیروی برا و در نتیجه کاهش راندمان ایرفویل می‌شود. اگر چه روش‌های عددی هزینه محاسباتی زیادی دارند ولی با استفاده از این روش‌ها می‌توان تشکیل گردابه در لبه حمله ایرفویل را مشاهده نمود به طور مثال می‌توان تشكیل گردابه در لبه حمله ایرفویل را مشاهده کرد^[10]. اما روش‌های نیمه تحلیلی موجود زمان محاسباتی بسیار کمی دارند و در عین حال می‌توانند دقت مناسبی هم داشته باشند.

در زمینه کارهای تجربی می‌توان به ازمایش انجام شده در دانشگاه اهایو امریکا^[13] اشاره نمود. در این ازمایش، ایرفویل‌های مورد استفاده در توربین‌های بادی در شرایط دینامیکی مورد بررسی قرار گرفته‌اند. ایرفویل‌های مورد استفاده حول یک نقطه از ایرفویل نوسان چرخشی می‌کنند و ضرایب آبیودینامیکی استخراج می‌گردند. این آزمایش برای دامنه‌های مختلف زاویه حمله و فرکانس‌های کاسته انجام شده است.

در این تحقیق، به بررسی میزان دقت روش‌های نیمه تحلیلی و عددی موجود به منظور پیش‌بینی ضرایب آبیودینامیکی ایرفویل توربین بادی، در حالت دینامیکی پرداخته شده است. ایرفویل مورد استفاده در این تحقیق، ایرفویل نسبتاً ضخیم S825 می‌باشد که برخی از مشخصات این ایرفویل در جدول ۱ نشان داده شده است. این ایرفویل در مقاطع میانی پره توربین باد قابل استفاده می‌باشد. روش‌های نیمه تحلیلی مورد استفاده در این تحقیق، لیشممن-بدووس، استنل و اونرا می‌باشند. برای تحلیل عددی از روش حجم

¹ Leishman-Beddoes

² ONERA

³ Snel

رابطه (16) را نوشت:

$$C_{n_n}^{pot} = C_{\alpha_n}^c + C_{\alpha_n}^{nc} + C_{q_n}^{nc} \quad (16)$$

3-2- جریان ناپایای جدا شده

این روش، از تئوری هلمهولتز-کرشهوف [15]، که رابطه بین محل جدایش جریان و ضریب نیروی عمود بر سطح ایرفویل را بیان می‌سازد، برای به دست آوردن نیروی عمود بر سطح ایرفویل در حالت جدایش استفاده می‌کند. معادله (17) از تئوری هلمهولتز-کرشهوف به دست آمده است که در این معادله، f برابر نسبت فاصله نقطه جدایش از لبه حمله به طول وتر ایرفویل می‌باشد که با داشتن زاویه حمله و ضریب نیروی عمود بر سطح در حالت پایا به دست می‌آید.

$$C_n(\alpha, f) = C_{n_\alpha} \left(\frac{1 + \sqrt{f}}{2} \right)^2 \sin(\alpha) \quad (17)$$

رابطه (17) برای حالت پایا استفاده می‌شود. در این رابطه C_{n_α} برابر شب منحنی ضریب نیروی عمود بر ایرفویل بر حسب زاویه حمله می‌باشد. برای استفاده در حالت ناپایا بایستی رابطه (17) اصلاح شود. برای این کار کافی است تا تأخیر به وجود آمده در حالت ناپایا به صورت رابطه (18) تعریف شود:

$$C_n' = C_n^{pot} - D_{p_n} \quad (18)$$

که در رابطه (18)، می‌توان رابطه (19) را نوشت:

$$D_{p_n} = D_{p_{n-1}} \exp\left(-\frac{\Delta s}{T_p}\right) + (C_{n_n}^{pot} - C_{n_{n-1}}^{pot}) \exp\left(-\frac{\Delta s}{2T_p}\right) \quad (19)$$

حال با استفاده از رابطه‌های (18) و (19) زاویه حمله مؤثر به صورت رابطه (20) تعریف می‌شود:

$$\alpha_f(t) = \frac{C_n'}{C_{n_\alpha}} \quad (20)$$

با استفاده از زاویه حمله مؤثر، نقطه جدایش مؤثر (\hat{f}) نیز با استفاده از رابطه (16) به دست می‌آید. در این روش بایستی برای اعمال اثر لایه مرزی ناپایا مقدار \hat{f} اصلاح شود. برای این کار \hat{f} به صورت رابطه (21) تعریف شده است:

$$\hat{f} = \hat{f} - D_{f_n} \quad (21)$$

$$D_{f_n} = D_{f_{n-1}} \exp\left(-\frac{\Delta s}{T_f}\right) + (f_n' - f_{n-1}') \exp\left(-\frac{\Delta s}{2T_f}\right) \quad (22)$$

حال با به دست آمدن \hat{f} که اصلاح شده f می‌باشد، ضرایب نیروی عمود و مماس بر سطح ایرفویل در حالت ناپایا با استفاده از روابط (23) و (24) به دست می‌آیند. α_0 نیز معادل زاویه حمله C_n برابر صفر می‌باشد.

$$C_n^f = C_{n_\alpha} \left(\frac{1 + \sqrt{\hat{f}}}{2} \right)^2 \sin(\alpha_e - \alpha_0) \quad (23)$$

$$C_{a_n} = C_{n_\alpha} \sqrt{\hat{f}} (\alpha - \alpha_0) \sin(\alpha_e - \alpha_0) \quad (24)$$

3-3- اثر گردابه بر روحی نیروی برا

همان‌طور که گفته شد واماندگی دینامیکی با ایجاد گردابه‌ای در لبه حمله شروع می‌شود. بنابراین بایستی اثر این گردابه که در راستای وتر ایرفویل حرکت می‌کند تا به لبه فرار برسد، در معادلات این روش لحاظ شود. برای این کار لازم است اختلاف بین ضریب نیروی عمودی خطی شده قسمت

می‌باشد [14] که ضرایب آیرودینامیکی از مجموع این دو قسمت به دست می‌آیند. در این تحقیق، سعی بر آن است تا به صورت خلاصه روابط دو قسمت یاد شده آورده شوند. در روش پاسخ واحد، با استفاده از ترکیب پاسخ واحد برای تغییر زاویه حمله (α) ناگهانی و تغییر ناگهانی نرخ زاویه پیچ¹ (q) ایرفویل ضریب نیروی برا که ترکیبی ازتابع پاسخ واحد قسمت‌های چرخشی و غیر چرخشی می‌باشد [3] به صورت روابط (2,1) تعریف شده است:

$$C_{\alpha_n} = \frac{4}{M} \phi_a^{nc}(s, M) + \frac{2\pi}{\beta} \phi_a^c(s, M) \quad (1)$$

$$C_{q_n} = \frac{1}{M} \phi_q^{nc}(s, M) + \frac{\pi}{\beta} \phi_q^c(s, M) \quad (2)$$

در روابط (1) و (2) تابع پاسخ واحد قسمت چرخشی که تابع عدد ماخ

جریان و زمان بی بعد ($s = Ut/b$) می‌باشد، از رابطه (3) به دست می‌آید:

$$\phi_a^c(s, M) = \phi_q^c(s, M) = 1 - A_1 \exp(-b_1 \beta^2 s) \quad (3)$$

$$- A_2 \exp(-b_2 \beta^2 s) \quad (3)$$

در روابط قبل، نرخ تغییر زاویه پیچ برابر $q = \alpha c/U$ می‌باشد. قسمت

چرخشی با استفاده از انتگرال گیری دوهامل به صورت رابطه (4) تعریف شده است.

$$C_{a_n}^c = C_{n_\alpha} \alpha_e(s, M) \quad (4)$$

در رابطه (4)، α_e که زاویه حمله معادل نام دارد به صورت رابطه (5) تعریف می‌شود:

$$\alpha_e(s, M) = \alpha(s) - X(s) - Y(s) \quad (5)$$

در رابطه (5)، $X(s)$ و $Y(s)$ از روابط (7,6) بدست می‌آیند:

$$X(s) = X(s - \Delta s) \exp(-b_1 \beta^2 \Delta s) \quad (6)$$

$$+ A_1 \Delta \alpha \exp\left(-\frac{b_1 \beta^2 \Delta s}{2}\right) \quad (6)$$

$$Y(s) = Y(s - \Delta s) \exp(-b_2 \beta^2 \Delta s) \quad (7)$$

در روابط قبل و پیش رو M عدد بی بعد ماخ، $\Delta \alpha$ و $\beta = \sqrt{1 - M^2}$ در تغییر زاویه حمله می‌باشند.

در روابط (6) و (7)، ضرایب A_1 و A_2 و b_1 و b_2 ، ضرایب تابع پاسخ واحد می‌باشند. سهم غیر چرخشی نیروی آیرودینامیکی از روابط (8) و (9) به دست می‌آیند.

$$C_{\alpha_n}^{nc} = (K_{\alpha_n} - \dot{K}_{\alpha_n}) \frac{4k_\alpha T_I}{M} \quad (8)$$

$$C_{q_n}^{nc} = (K_{q_n} - \dot{K}_{q_n}) \frac{k_q T_I}{M} \quad (9)$$

در روابط (8) و (9) ضریب K و \dot{K} با استفاده از روابط (10) تا (13) به دست می‌آیند. T_I برابر نسبت طول وتر ایرفویل به سرعت صوت می‌باشد.

$$K_{\alpha_n} = \frac{\alpha_n - \alpha_{n-1}}{\Delta t} \quad (10)$$

$$K_{q_n} = \frac{q_n - q_{n-1}}{\Delta t} \quad (11)$$

$$\dot{K}_{\alpha_n} = \exp\left(-\frac{\Delta t}{2d_a T_I}\right) (K_{\alpha_{n-1}} + K_{\alpha_n} - K_{\alpha_{n-1}}) \quad (12)$$

$$\dot{K}_{q_n} = \exp\left(-\frac{\Delta t}{2d_q T_I}\right) (K_{q_{n-1}} + K_{q_n} - K_{q_{n-1}}) \quad (13)$$

در روابط (10) تا (13) می‌توان روابط (14) را نوشت:

$$d_a = 0 \cdot 75 [(1 - M) + \pi \beta^2 M^2 (A_1 b_1 - A_2 b_2)]^{-1} \quad (14)$$

$$d_q = 0 \cdot 75 [(1 - M) + 2\pi \beta^2 M^2 (A_1 b_1 - A_2 b_2)]^{-1} \quad (15)$$

حال با استفاده از ترکیب روابط (4) و (8) و (9)، نیرو در راستای عمود بر سطح ایرفویل در حالت جریان چسپیده به دست می‌آید. بنابراین می‌توان

¹ Pitching rate

زياد ثوابت می‌باشد که اين ثوابت در جدول 2 نشان داده شده‌اند. اين روش از داده‌های استاتیک و همچنین داده پتانسیل نیز استفاده می‌نماید. برای به دست آوردن دو مؤلفه یاد شده کافی است معادلات دیفرانسیل (35) و (36) حل گرددند. برای حل معادله غیر خطی (36) کافی است تا از روش مرتبه دو پس رو استفاده نمود. ضریب برا در حالت دینامیکی در این روش از رابطه (37) به دست آورده می‌شود.

$$\dot{C}_{l,1} + \lambda_L C_{l,1} = \lambda_L C_{l,pot} + (\lambda_L S_L + \sigma_L) \dot{\alpha} + S_L \ddot{\alpha} \quad (35)$$

$$\dot{C}_{l,2} + a_L C_{l,2} + r_L C_{l,2} = -(r_L \Delta C_l + e_L \Delta \dot{C}_l) \quad (36)$$

$$C_{l,dyn} = C_{l,1} + C_{l,2} \quad (37)$$

مقدار ΔC_l از رابطه (38) به دست می‌آید. از روابط بالا مشتق نسبت به زمان بی بعد گرفته می‌شود و ثوابت موجود در این روابط نیز در جدول 2 نشان داده شده است. پارامترهای S_L , σ_L و r_L از روابط (39) تا (41) به دست می‌آیند.

$$\Delta C_l = C_{l,stat} - C_{l,pot} \quad (38)$$

$$r_L = (r_0 + r_2 \Delta C_l)^2 \quad (39)$$

$$e_L = e_2 \Delta C_l^2 \quad (40)$$

$$a_L = a_0 + a_2 \Delta C_l^2 \quad (41)$$

چرخشی در حالت ناپایا را از قسمت خیر خطی آن با استفاده از تئوری کرشهوف محاسبه نمود، که به صورت روابط (25) و (26) تعریف می‌شود:

$$C_{v_n} = C_{\alpha_n}^c (1 - K_{n_n}) \quad (25)$$

$$K_{n_n} = \left(\frac{1 + \sqrt{f}}{2} \right)^2 \quad (26)$$

تا زمانی که این گردابه از ایرفویل کاملاً دور نشده است، هنوز اثر افزایشی در ضریب نیروی عمود بر ایرفویل دارد. رابطه (27) اثر این گردابه را بر روی ضرایب آیرودینامیکی ایرفویل نشان می‌دهد.

$$C_{v_n}^v = C_{n_{n-1}}^v \exp \left(-\frac{\Delta s}{T_v} \right) + (C_{v_n} - C_{v_{n-1}}) \exp \left(-\frac{\Delta s}{2T_v} \right) \quad (27)$$

حال برای به دست آوردن ضریب نیروی عمودی بر ایرفویل کافی است تا روابط (8), (9), (23) و (27) با هم جمع شوند که به صورت رابطه (28) به دست می‌آید:

$$C_{n_n} = C_{n_n}^v + C_{n_n}^f + C_{q_n}^{nc} + C_{\alpha_n}^{nc} \quad (28)$$

مقدار ضریب برا و ضریب پسا با ترکیب روابط (24) و (28) در هر زاویه حمله به دست آورده می‌شود.

4- روش اسنل

معادلات دو بعدی ناپایای رنس¹ برای حل عددی جریان سیال استفاده شده است. معادلات پیوستگی و مومنت که در حل عددی مورد استفاده قرار می‌گیرند، به صورت روابط (42) تا (44) می‌باشد.

$$\frac{\partial \bar{u}_i}{\partial x_i} = 0 \quad (42)$$

$$\frac{\partial \bar{u}_i}{\partial t} + \bar{u}_j \frac{\partial \bar{u}_i}{\partial x_j} = -\frac{1}{\rho} \frac{\partial \tau_{ij}}{\partial x_j} + \bar{g}_i \quad (43)$$

که از رابطه (43) می‌توان رابطه (44) را نوشت:

$$\tau_{ij} = -\bar{p} \delta_{ij} + \mu \left(\frac{\partial \bar{u}_i}{\partial x_j} + \frac{\partial \bar{u}_j}{\partial x_i} \right) - \rho \bar{u}_i \bar{u}_j \quad (44)$$

در معادله مومنت، ترم $-\rho \bar{u}_i \bar{u}_j$ معروف به تنسور تنش رینولدزی می‌باشد که باستی با استفاده از مدل‌های توربولانسی به دست آورده شود. همچنین متوسط گیری بر مبنای متوسط‌گیری زمانی انجام شده است.

شیوه‌سازی عددی واماندگی دینامیکی در محیط نرم افزار تجاری انسیس فلوئنت 17 انجام شده است. در این مدل‌سازی ایرفویل مورد نظر حول فاصله $c/4$ از لبه حمله با توجه به رابطه (45) نوسان می‌کند و پارامتر بی بعد رینولدز برابر 10^6 در نظر گرفته شده است.

$$\alpha(t) = \alpha_{mean} + \alpha_{amp} \sin(\omega t) \quad (45)$$

در این رابطه ω فرکانس نوسان (rad/s) ایرفویل می‌باشد. با توجه به رابطه فرکانس کاسته k ، مقدار فرکانس از رابطه (46) به دست می‌آید.

جدول 2 ثوابت روش واماندگی دینامیکی اونرا [4]

Table 2 Constants of ONERA dynamic stall method[4]							
λ_L	S_L	a_0	a_2	e_2	r_0	r_2	σ_L
0.17	π	0.3	0.2	-2.86	0.2	0.2	2π

جدول 3 ثوابت روش واماندگی دینامیکی لیشممن-بدووس [6]

Table 3 Constants of L-B dynamic stall methods[6]						
A_1	A_2	b_1	b_2	T_p	T_f	T_v
0.3	0.7	0.14	0.53	1.7	3.0	6.0

¹ Unsteady Reynolds-Averaged Navier-Stokes (URANS)

$$\Delta C_{l,pot} = C_{l,pot} - C_{l,stat} \quad (34)$$

برای استفاده از این روش، به نتایج دقیق آزمایشگاهی در حالت استاتیکی نیاز است. برای به دست آوردن نیروی برا در حالت جریان پتانسیل کافی است از برونویابی ناحیه خطی نمودار ضریب برا بر حسب زاویه حمله در حالت استاتیکی استفاده نمود.

5- روش اونرا

در این روش ضریب نیروی برا با استفاده از مجموع دو مؤلفه ($C_{l,1}$), که با فرض جریان چسیبیده به سطح به دست می‌آید و ($C_{l,2}$), که اثرات جدایش جریان را لحاظ می‌کند، به دست آورده می‌شود [4]. از معایب این روش تعداد

متحرک و همچنین قادر به بررسی گردابه ایجاد شده در زمان رخداد واماندگی دینامیکی می‌باشد. از الگوریتم پیزو^۳ برای کوپل سرعت و فشار و برای گستته سازی از روش مرتبه دو استفاده شده است. مقدار گام زمانی در این تحقیق 10^{-4} می‌باشد و هزینه محاسباتی با استفاده از ۶ هسته موازی برای هر سیکل حدود 48 ساعت می‌باشد.

7- نتایج

در این قسمت به ارائه و بررسی نتایج حاصل از روش‌های نیمه تحلیلی و روش عددی یاد شده، پرداخته می‌شود. نتایج روش‌های نیمه تحلیلی به صورت جداولی بررسی و با داده‌های ازمایشگاهی مقایسه می‌شوند. نتایج حاصل از شبیه‌سازی عددی نیز با نتایج ازمایشگاهی مقایسه می‌شوند. برای مقایسه نتایج، خطای فارهای کاهش و افزایش زاویه حمله در هر روش به صورت جداولی محاسبه می‌شوند. شرایط مورد بررسی در این تحقیق به این صورت می‌باشد که مقدار فرکانس کاسته برابر $0.081\alpha_{mean}$ برابر ۱۰ درجه و α_{mean} برابر ۸ درجه و ۱۴ درجه می‌باشند. رینولدز جریان نیز برابر 10^6 می‌باشد.

7-1- نتایج ضریب برا با روش عددی

در این قسمت به ارائه و بررسی نتایج حاصل از شبیه‌سازی واماندگی دینامیکی ایرفویل S825 با استفاده از روش عددی پرداخته می‌شود. در شکل ۲ نمودار تغییرات ضریب نیروی برا برای حالت α_{mean} برابر ۸ درجه نشان داده شده است. در شکل ۳ نیز این تغییرات برای حالت α_{mean} برابر ۱۴ درجه نشان داده شده است. همان‌طور که از نتایج روش عددی مشاهده می‌شود، این روش در مرحله افزایش زاویه حمله دقت سیار خوبی دارد.

در هر دو حالت، مقدار بیشینه ضریب نیروی برا با دقت خوبی پیش‌بینی شده است. همچنین زاویه حمله رخداد این مقدار بیشینه با دقت مناسبی به دست آورده شده است. اما در مرحله کم شدن زاویه حمله ایرفویل، روش عددی دقت مناسبی ندارد. این کمبود دقت در زمان چسبیدن جریان به سطح بیشتر می‌باشد.

همان‌طور که قبلًا بیان شد در زمان واماندگی دینامیکی، مقدار زاویه حمله واماندگی از حالت پایا بیشتر می‌باشد. این موضوع در شکل‌های ۲ و ۳ کاملاً مشاهده می‌شود. در حالت پایا مقدار زاویه حمله واماندگی، 11.2° درجه می‌باشد اما همان‌طور که مشاهده می‌شود، در حالت $\alpha_{mean} = 8^\circ$ واماندگی در زاویه حمله نزدیک به 17° درجه رخ داده است. مقدار بیشینه ضریب نیروی برا نیز در حالت دینامیکی بیشتر از حالت پایا پیش‌بینی شده است. به طور مثال در حالت $\alpha_{mean} = 8^\circ$ مقدار بیشینه ضریب نیروی برا حدود ۱.۹۱ می‌باشد اما در حالت پایا برابر ۱.۴۷ می‌باشد که حدود ۳۰ درصد افزایش پیدا کرده است. این افزایش اهمیت بررسی واماندگی دینامیکی را نشان می‌دهد.

در حالت $\alpha_{mean} = 14^\circ$ در زاویه حمله حدود ۲۳ درجه، افزایش ناگهانی ضریب برا مشاهده می‌شود که این افزایش بعد از واماندگی رخ داده است. این افزایش ناگهانی به علت به وجود امدن یک گردابه دیگر (TEV) در

جدول 4 استقلال شبکه ایرفویل S825

Table 4 S825 airfoil grid independency				
90000	85000	80000	75000	تعداد سلول‌ها
0.906	0.901	0.885	0.8709	ضریب برا
0.0189	0.0183	0.01725	0.0169	ضریب پسا

³ PISO

$$\omega = \frac{kU}{b} \quad (46)$$

در رابطه (46)، b طول نصف وتر و U سرعت جریان آزاد می‌باشد.

6-1- شرایط مرزی

شرط مرزی بر روی ایرفویل شرط بدون لغزش لحاظ گردیده است و شرط مرزی ورودی به صورت شرط مرزی سرعت ثابت می‌باشد. باقی مرزهای دامنه حل، شرط مرزی فشار فرض شده است. مرزهای دامنه حل به شکلی قرار داده شده‌اند که فاصله آنها از ایرفویل به اندازه ۲۰ برابر طول وتر می‌باشد. نوسان ایرفویل با استفاده از روش شبکه متغیر^۱ انجام شده است که معادله حرکت ایرفویل با استفاده از یکتابع^۲ به نرم‌افزار داده شده است. همچنین شبکه شبکه تغییر نمی‌کند و از پیچش همزمان ایرفویل و مرزها در شبکه دینامیکی استفاده شده است.

6-2- تولید شبکه

برای تولید شبکه در این تحقیق از شبکه نوع C دو بعدی استفاده شده است. مش حول ایرفویل به صورت سازمان یافته می‌باشد و سعی گردیده است تا مقدار ضریب بی بعد^۳ به اندازه‌ای باشد تا اولین گره در نزدیکی ایرفویل در زیر لایه لرج قرار گرفته باشد. دامنه محاسباتی و نمای نزدیک بالواره در شکل ۱ نشان داده شده است. برای بررسی استقلال حل عددی و نتایج از شبکه محاسباتی، تحقیقی انجام شد که در آن از چهار نوع شبکه با تعداد شبکه متفاوت در حالت پایا و در زاویه حمله ۳ درجه استفاده شده است. نتایج این تحقیق در جدول ۴ برای ضریب برا و پسا نشان داده شده است. با توجه به نتایج این بررسی، تعداد سلول شبکه محاسباتی ۸۵ هزار تا انتخاب شده است.

6-3- مشخصات شبیه‌سازی

به علت آشفته بودن جریان، برای مدل‌سازی توربولانسی از مدل $k-\omega SST$ استفاده شده است. این مدل ترکیبی از مدل‌های $k-\omega$ و $U-E$ می‌باشد [17,16]. این مدل توربولانسی قادر به بررسی جریان حول ایرفویل‌های

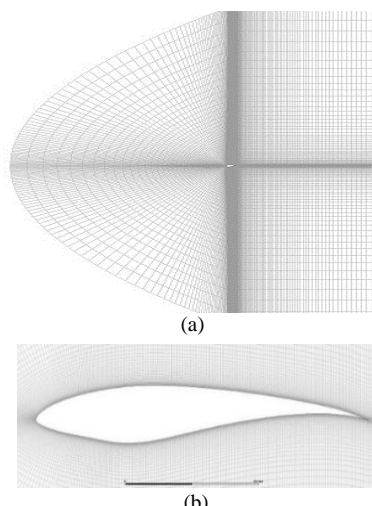
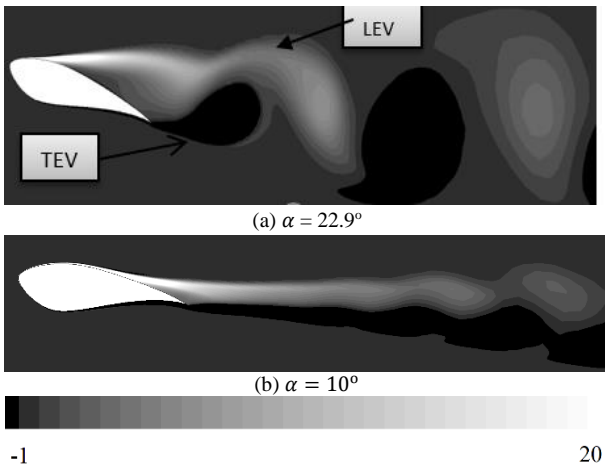


Fig. 1. (a) full computational domain. (b) closed-view of S825 airfoil mesh

شکل ۱ نمایی از شبکه بندی کل دامنه حل و نمای نزدیک ایرفویل

¹ Dynamic mesh

² User-Defined Function (UDF)



شکل 4 کانتور ورتیسیته در حالت $\alpha_{mean} = 14^\circ$ در فاز کاهش زاویه حمله

دینامیکی ایرفویل S825 با استفاده از روش‌های نیمه تحلیلی پرداخته شده است. در مورد روش لیشممن-بدووس پایستی ذکر شود که در صورتی این روش بیشترین دقت را دارد که بتواند با بیشترین دقت ضرایب آبرو دینامیکی ایرفویل را در شرایط پایا پیش‌بینی کند. به همین منظور، ابتدا برای صحت ارائه نتایج روش لیشممن-بدووس، نتایج این روش زمانی که فرکانس کاسته بسیار نزدیک به صفر می‌باشد، ارائه می‌شود. در شکل‌های 5 و 6 نتایج حاصل از این شبیه‌سازی نشان داده شده است. همان‌طور که مشاهده می‌شود این روش قادر به پیش‌بینی ضرایب آبرو دینامیکی پایا با دقت خوبی می‌باشد. نتایج همه روش‌ها در حالت دینامیکی نیز در شکل‌های 7 و 8 نشان داده شده است.

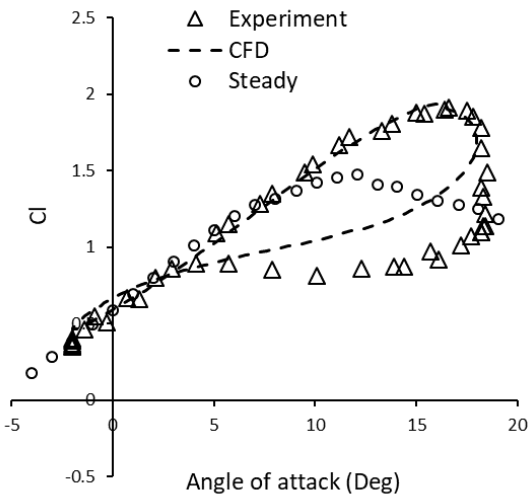
نتایج پیش‌بینی مقدار بیشینه ضریب برا و زاویه حمله رخداد آن، در جدول 5 نشان داده شده است. همان‌طور که مشاهده می‌شود، همه مدل‌ها مقدار بیشینه را با دقت مناسبی اندازه گیری می‌کنند، اما در پیش‌بینی زاویه حمله رخداد آن خطأ دارند، همان‌طور که مشاهده می‌شود از میان روش‌های دینامیکی، روش لیشممن-بدووس کمترین خطأ را دارد.

برای اندازه گیری دقت هر مدل نسبت به داده‌های آزمایشگاهی و همچنین نسبت به هم دیگر، میزان خطای کل برای ضریب برا در دو فاز یاد شده در حالت $\alpha_{mean} = 8^\circ$ در جدول 6 و برای حالت $\alpha_{mean} = 14^\circ$ در جدول 7 نشان داده شده است. با توجه به جدول 6 مشاهده می‌شود که روش‌های لیشممن-بدووس و استنل فاز کاهش زاویه حمله را با دقت کمتری نسبت به فاز افزایش زاویه حمله پیش‌بینی می‌کنند، اما روش اوونزا در اکثر حالات فاز کم شدن زاویه حمله را بهتر از دیگر روش‌ها پیش‌بینی می‌کند. اما با افزایش زاویه میانگین نوسان ایرفویل روش‌های لیشممن-بدووس و استنل خطای کمتری نسبت به روش اوونزا در زمان واماندگی کامل دارند. به این معنی که در زاویه حمله‌های زیاد که اشتفتگی حاصل از جدایش بیشتر مشاهده می‌شود، روش‌های لیشممن-بدووس و استنل دقت بیشتری دارند و

جدول 5 مقدار بیشینه ضریب برا و زاویه حمله آن ($\alpha_{mean} = 8^\circ$)

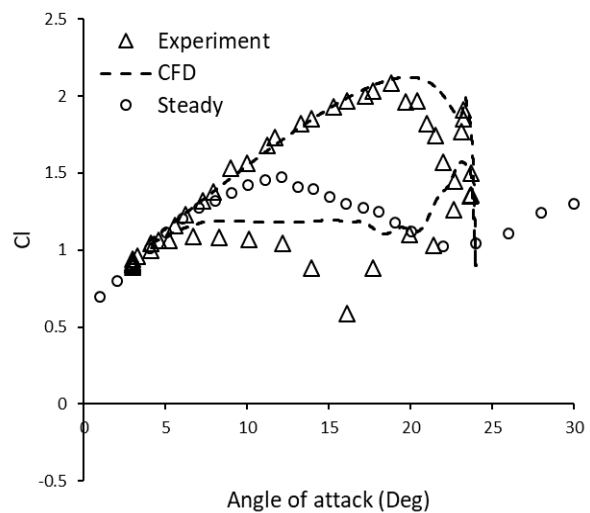
Table 5 The maximum lift coefficient and the angle of attack ($\alpha_{mean} = 8^\circ$)

	اوونزا	استنل	لیشممن	عددی	ازمایش	ضریب برا بیشینه	زاویه حمله رخداد
1.89	1.92	1.89	1.94	1.91	1.91		
14	15.2	16.6	16.4	17			



شکل 2 مقایسه نتایج عددی با داده‌های ازمایشگاهی در $\alpha_{mean} = 8^\circ$ (ضریب برا)

شکل 2 مقایسه نتایج عددی با داده‌های ازمایشگاهی در $\alpha_{mean} = 8^\circ$ (ضریب برا)



شکل 3 مقایسه نتایج روش عددی با داده‌های ازمایشگاهی در $\alpha_{mean} = 14^\circ$ (ضریب برا)

شکل 3 مقایسه نتایج روش عددی با داده‌های ازمایشگاهی در $\alpha_{mean} = 14^\circ$ (ضریب برا)

زمان کم شدن زاویه حمله می‌باشد که در شکل 4 نشان داده شده است. همان‌طور که مشاهده می‌شود، روش عددی تا حدودی توانسته است این پدیده را پیش‌بینی کند. اما به علت وجود برهمکنش‌های دو گرداب LEV و TEV در فاز کاهش زاویه حمله، دقت روش در این فاز کم می‌باشد. نکته دیگری که از نتایج مشخص می‌باشد، در زمان افزایش زاویه حمله تا قبل از واماندگی، ضریب نیروی برا به صورت خطی تغییر می‌کند که این موضوع نیز توسط روش عددی به خوبی پیش‌بینی شده است. البته در روش اوونزا نیز معادله قسمت جریان چسبیده به سطح نیز به صورت خطی بیان شده است که این موضوع را تایید می‌کند.

7-2- نتایج ضریب برا با روش‌های نیمه تحلیلی
در این قسمت به ارائه و بررسی نتایج حاصل از شبیه‌سازی واماندگی

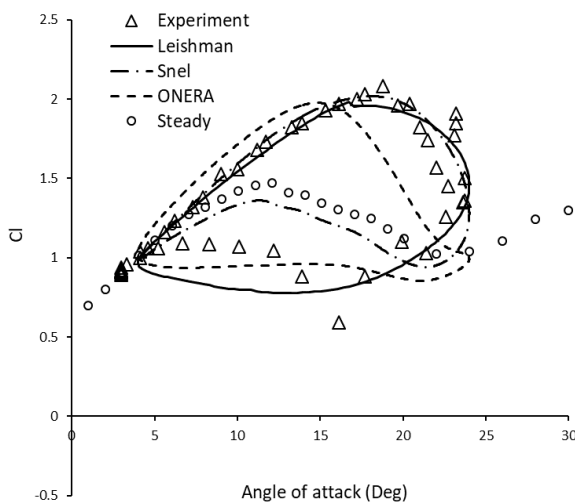


Fig. 8 Comparison between the results of Semi-Empirical models and experimental data at $\alpha_{mean}=14^0$ (Lift Coefficient)

شکل 8 مقایسه نتایج روش‌های نیمه تجزیی با داده‌های آزمایشگاهی در $\alpha_{mean} = 14^0$ (ضریب بر)

جدول 6 درصد خطای روش‌های نیمه تحلیلی و عددی ($\alpha_{mean} = 8^0$)

Table 6 Semi-Empirical and CFD methods error percentage ($\alpha_{mean} = 8^0$)

اونرا	استل	لیشممن	عددی	
5.0	0.3	0.2	0.58	فاز افزایش زاویه حمله
0.7	7.1	5.5	11.8	فاز کاهش زاویه حمله

جدول 7 درصد خطای روش‌های نیمه تحلیلی و عددی ($\alpha_{mean} = 14^0$)

Table 7 Semi-Empirical and CFD methods error percentage ($\alpha_{mean} = 14^0$)

اونرا	استل	لیشممن	عددی	
12.9	1.1	0.8	1.4	فاز افزایش زاویه حمله
3.6	4.8	2.7	5.4	فاز کاهش زاویه حمله

با توجه به نتایج مشاهده می‌شود که هر سه روش در پیش‌بینی ضریب آیرودینامیکی ضعف دارند اما با توجه به نتایج به دست آمده می‌توان نتیجه گرفت که مدل لیشممن-بدووس نسبت به دیگر مدل‌ها قابل اعتماد تر می‌باشد.

3-7- نتایج ضریب پسا

در این قسمت به بررسی دقیق روش‌های مورد استفاده در پیش‌بینی ضریب پسا در حالت دینامیکی پرداخته می‌شود. برای شبیه‌سازی، از روش عددی و روش لیشممن-بدووس استفاده شده است. در شکل 9 نمودار تغییرات ضریب پسا برای برای حالت α_{mean} برابر 8 درجه نشان داده شده است. در شکل 10 نیز این تغییرات برای حالت α_{mean} برابر 14 درجه نشان داده شده است. در زمان وقوع واماندگی در حالت دینامیکی، مقدار ضریب پسا، نسبت به حالت پایا افزایش می‌یابد. این موضوع در شکل 9 و باوضوح بیشتر در شکل 10 قبل مشاهده می‌باشد. مشاهده می‌شود که تا قبل از وقوع واماندگی، مقدار ضریب نیروی پسا با حالت پایا تفاوت چندانی ندارد. بنابراین، باستی به میزان دقیق روش در انتهای فاز افزایش زاویه حمله یا ابتدای فاز کاهش زاویه حمله بیشتر توجه شود. با توجه به جدول 8 مشاهده می‌شود که روش عددی دقیق بیشتری دارد، و بهتر می‌تواند رفتار ضریب نیروی پسا را پیش‌بینی کند.

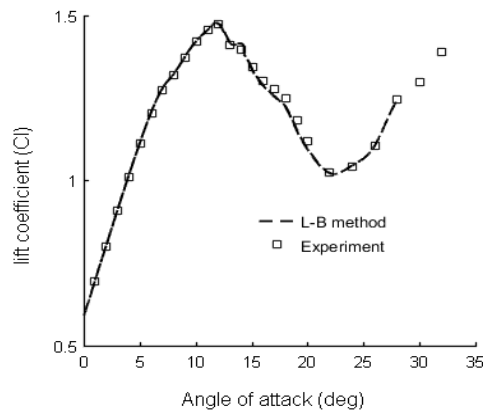


Fig. 5 L-B method results at steady condition (Lift coefficient)

شکل 5 نتایج روش لیشممن-بدووس در حالت پایا (ضریب بر)

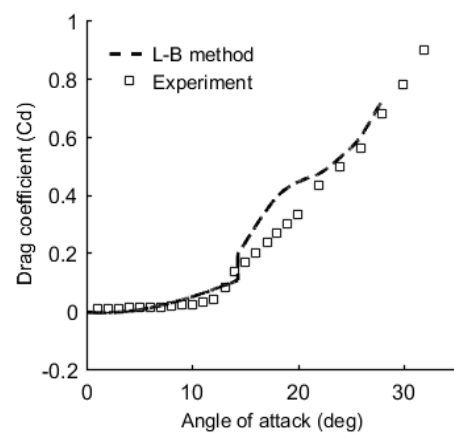


Fig. 6 L-B method results at steady condition (Drag coefficient)

شکل 6 نتایج روش لیشممن-بدووس در حالت پایا (ضریب پسا)

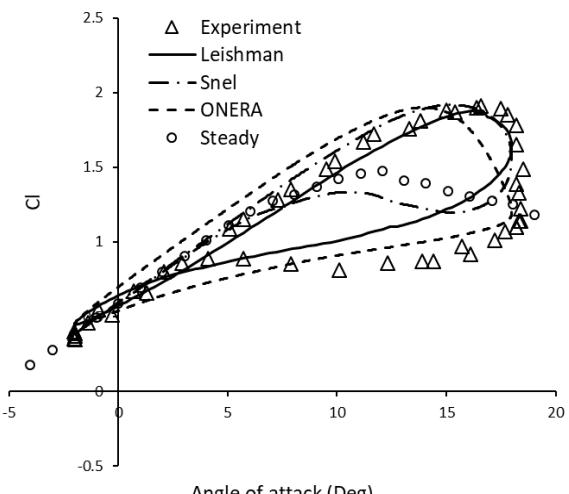


Fig. 7 Comparison between the results of Semi-Empirical models and experimental data at $\alpha_{mean}=8^0$ (Lift Coefficient)

شکل 7 مقایسه نتایج روش‌های نیمه تجزیی با داده‌های آزمایشگاهی در $\alpha_{mean} = 8^0$ (ضریب بر)

حتی مشاهده می‌شود که با افزایش زاویه حمله میانگین خطای دو روش در پیش‌بینی فاز کم شدن زاویه حمله کمتر شده است.

کنترلی و حرکت سکوی توربین‌های شناور اشاره نمود. در این مقاله، برای شبیه‌سازی واماندگی دینامیکی از مدل‌های نیمه تحلیلی و عددی استفاده شده است. روش لیشمون-بدووس، اسنل و اوونرا به عنوان مدل‌های نیمه تحلیلی و از روش حجم محدود برای شبیه‌سازی عددی استفاده شده است. نتایج همه روش‌ها با داده‌های آزمایشگاهی مقایسه شده‌اند و دقت آنها مورد بررسی قرار گرفته است. نتایج نشان می‌دهند که روش‌های نیمه تحلیلی و عددی مورد استفاده توانایی پیش‌بینی ضریب برا را با دقت قابل قبولی دارند. اما پیش‌بینی زاویه حمله رخداد بیشینه برا توسط روش‌های اسنل و اوونرا به خوبی انجام نمی‌شود، اما روش عددی و لیشمون-بدووس دقت مناسبی دارند. میزان دقت روش‌ها در فازهای کاهش زاویه حمله و افزایش زاویه حمله نیز بررسی شد. نتایج روش عددی نشان داد که این روش فاز افزایش زاویه حمله را با دقت بالایی پیش‌بینی می‌کند و همچنین رفتار آبرو دینامیکی ایرفویل را در زمان واماندگی با دقت مناسبی پیش‌بینی می‌کند. اما دیده می‌شود که روش عددی در فاز کاهش زاویه حمله خطأ دارد. با توجه به مشاهدات رفتار جریان در زمان کاهش زاویه حمله می‌توان نتیجه گرفت که علت ضعف روش عددی در این فاز، عدم توانایی این روش به بررسی برهمکنش گردابهای LEV و TEV می‌باشد. نتایج مدل‌های نیمه تحلیلی نیز با داده‌های آزمایشگاهی مقایسه شدند. نتایج نشان می‌دهند که از میان این مدل‌ها، مدل لیشمون-بدووس بیشترین دقت را دارد. همچنین همه روش‌ها در پیش‌بینی فاز کاهش زاویه حمله خطأ دارند. برای بهبود روش‌های نیمه تحلیلی بایستی اثر برهمکنش گردابهای LEV و TEV به مدل‌ها اضافه شود. نتایج ضریب پسا نشان می‌دهد که روش عددی دقت بیشتری نسبت به روش لیشمون-بدووس دارد.

جدول 8 درصد خطای روش‌های عددی و لیشمون-بدووس (ضریب پسا)

Table 8 Error percentage of the CFD and L-B methods (drag coefficient)

$\alpha_{mean} = 8^0$	$\alpha_{mean} = 14^0$
لیشمون	لیشمون
عددي	عددي
0.10	1.1
0.15	1.9
	0.78
	0.43

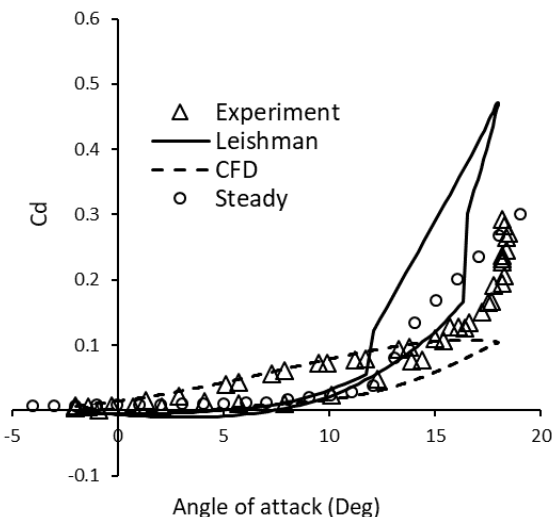


Fig. 9 مقایسه نتایج روش عددی و روش لیشمون-بدووس با داده‌های آزمایشگاهی

در $\alpha_{mean} = 8^0$ (ضریب برا)

۹- فهرست عالیم	
نصف طول وتر(m)	b
طول وتر(m)	C
فرکانس کاسته	K
عدد ماخ	M
فشار ($\text{kg s}^{-2} \text{m}^{-1}$)	p
عدد رینولدز	Re
زمان بی بعد	S
سرعت جریان ازاد (m s^{-1})	U
عالیم یونانی	
لرجت ($\text{kg s}^{-1} \text{m}^{-1}$)	μ
چگالی (kg m^{-3})	ρ
زاویه حمله	α
فرکانس نوسان(s)	ω
بالانویس‌ها	
چرخشی	c
غیر چرخشی	nc
زیرنویس‌ها	
دامنه	Amp
دینامیکی	Dyn
معادل	e
متوسط	mean
پتانسیل	Pot

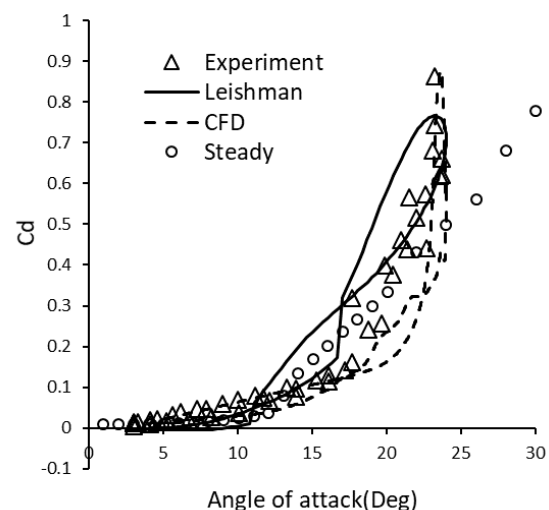


Fig. 10 مقایسه نتایج روش عددی و روش لیشمون-بدووس با داده‌های آزمایشگاهی

در $\alpha_{mean} = 14^0$ (ضریب برا)

۸- نتیجه گیری

هدف از این پژوهش، بررسی دقت مدل‌های واماندگی دینامیکی برای ایرفویل توربین بادی می‌باشد. واماندگی دینامیکی از پدیده‌های شایع در توربین‌های بادی است که به علت وجود اثرات ناپایای آبرو دینامیکی رخ می‌دهد. از علل رخداد این پدیده می‌توان به انحراف جریان نسبت به توربین، اثر سیستم

- dynamic stall model for horizontal axis wind turbines using MEXICO data, *Wind Energy*, Vol. 16, No. 2, pp. 207-219, 2013.
- [8] E. M. Gaertner, M. A. Lackner, Modeling dynamic stall for a free vortex wake model, *Wind Engineering*, Vol. 39, No. 6, pp. 675-691, 2015.
- [9] A. Ebrahimi, M. Sekandari, Aero elastic response of horizontal-axis wind turbine in sudden wind gusts based on Unsteady Blade Element Momentum method, *Modares Mechanical Engineering*, Vol. 16, No. 8, pp. 177-184, 2016. (in Persian) [فارسی](#)
- [10] K. Gharali, D. A. Johnson, Dynamic stall simulation of a pitching airfoil under unsteady freestream velocity, *Journal of Fluids and Structures*, Vol. 42, No. 1, pp. 228-244, 2013.
- [11] H. Hafizi-Rad, M. Behbahani-Nejad, S. S. Bahrainian, P. Tabibi, 3D analysis of the boundary layer on wind turbine blades, *Modares Mechanical Engineering*, Vol. 14, No. 3, pp. 119-128, 2014. (In Persian) [فارسی](#)
- [12] K. Gharali, D. A. Johnson, Numerical modeling of an S809 airfoil under dynamic stall, erosion and high reduced frequencies, *Applied Energy*, Vol. 93, No. 1, pp. 45-52, 2012.
- [13] R. R. Ramsay, M. J. Hoffmann, , G. M. Gregorek, *Effects of Grit Roughness and Pitch Oscillations on the S825 Airfoil*, United States: National Renewable Energy Lab, 1998.
- [14] T. Theodorsen, W. Mutchler, *General Theory of aerodynamic Instability and the Mechanism of Flutter*, pp. 1-26, United States: NACA, 1935.
- [15] B. Thwaites, R. Street, Incompressible aerodynamics, *Physics Today*, Vol. 13, No. 12, pp. 60, 1960.
- [16] F. R. Menter, Two-equation eddy-viscosity turbulence models for engineering applications, *AIAA Journal*, Vol. 32, No. 8, pp. 1598-1605, 1994.
- [17] X. Cai, R. Gu, P. Pan, J. Zhu, Unsteady aerodynamics simulation of a full-scale horizontal axis wind turbine using CFD methodology, *Energy Conversion and Management*, Vol. 112, No. 1, pp. 146-156, 2016.

استاتیکی	Stat
Computational Fluid Dynamics	
Leishman-Beddoes	L-B
Leading Edge Vortex	LEV
Trailing Edge Vortex	TEV
Vortex Lattice Method	VLM

۱۰- مراجع

- [1] C. P. Butterfield, Aerodynamic pressure and flow-visualization measurement from a rotating wind turbine blade, *Eighth ASME Wind Energy Symposium*, Houston, Texas, 1989.
- [2] P. Liu, G. Yu, X. Zhu, Z. Du, Unsteady aerodynamic prediction for dynamic stall of wind turbine airfoils with the reduced order modeling, *Renewable Energy*, Vol. 69, No. 1, pp. 402-409, 2014.
- [3] J. G. Leishman, T. Beddoes, A Semi-Empirical model for dynamic stall, *Journal of the American Helicopter Society*, Vol. 34, No. 3, pp. 3-17, 1989
- [4] C. Tran, D. Petot, Semi-empirical model for the dynamic stall of airfoils in view of the application to the calculation of responses of a helicopter blade in forward flight, *6th European Rotorcraft and Powered Light Aircraft Forum*, Amsterdam, Netherlands, 1980.
- [5] H. Snel, Heuristic modelling of dynamic stall characteristics, *European Wind Energy Conference*, Dublin, Ireland, 1997.
- [6] S. Gupta, J. G. Leishman, Dynamic stall modelling of the S809 aerofoil and comparison with experiments, *Wind Energy*, Vol. 9, No. 6, pp. 521-547, 2006.
- [7] R. Pereira, G. Schepers, M. D. Pavel, Validation of the Beddoes-Leishman